

## **ОБ ИНТЕГРИРОВАНИИ УРАВНЕНИЙ ДВИЖЕНИЯ ДИСКА ПО ШЕРОХОВАТОЙ ПЛОСКОСТИ**

В статье изучается задача о движении тонкого однородного диска по горизонтальной плоскости под действием сил сухого (кулонова) трения. Рассматривается радиально-симметричный закон распределения нормального давления по плоскости диска. Уравнения движения интегрируются в элементарных функциях, в результате чего получены точные формулы для пройденного диском пути и времени вплоть до остановки.

**1. Постановка задачи.** Рассмотрим диск, представляющий собой область контакта плоского твердого тела с шероховатой плоскостью. Такого рода задача изучалась в работах [1–6]. Предполагается, что элементарная сила трения (действующая на малый элемент диска) подчиняется кулонову закону трения, т.е. пропорциональна нормальному давлению в этом элементе и прямо противоположна его вектору скорости.

В статье рассматривается радиально-симметричное распределение нормального давления по закону [7]:

$$p(\rho) = \frac{p_0}{\sqrt{1 - (\rho/R)^2}}, \quad p_0 = G/(2\pi R^2) \quad (1.1)$$

где  $p_0$  – давление в центре площадки,  $\rho$  – расстояние малого элемента до центра площадки,  $G$  – вес тела,  $R$  – радиус диска.

Требуется определить закон движения диска по плоскости под действием сил трения при произвольных начальных условиях, в частности, путь и время движения вплоть до остановки.

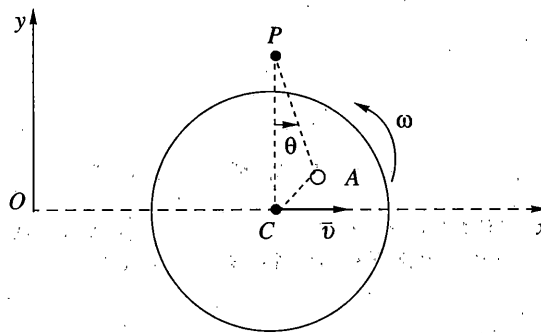
**2. Уравнения движения.** Пусть нормальное давление по диску распределено по закону (1.1). Эта задача рассматривалась в работе [5], где были вычислены главный вектор и главный момент сил трения, действующие на диск. В силу симметрии главный вектор сил трения направлен строго против вектора скорости центра масс диска, т.е. движение центра масс диска происходит по прямой линии.

Пусть  $v$  – скорость центра масс диска,  $\omega$  – его угловая скорость (фигура). Следуя работе [5], введем безразмерный параметр  $k = v/u$ , где  $u = \omega R$ . Запишем уравнения движения диска (уравнение движения центра масс по оси  $x$  и уравнение моментов относительно центра масс):

$$m\dot{v} = -F_{fr}(k), \quad J\dot{u}/R = -M_{fr}(k) \quad (2.1)$$

где  $m$  – масса диска,  $J$  – его момент инерции относительно центра масс,  $F_{fr}(k)$ ,  $M_{fr}(k)$  – сила трения и момент сил трения относительно центра масс, которые являются функциями параметра  $k$  и даются формулами [5]:

$$F_{fr}(k) = f p_0 R^2 \begin{cases} \pi^2 k/2, & k \in (0, 1) \\ \pi k \arcsin(1/k) + \pi \sqrt{k^2 - 1/k}, & k \in (1, \infty) \end{cases} \quad (2.2)$$



$$M_{\text{fr}}(k) = f p_0 R^3 \begin{cases} (\pi^2/4)(2-k^2), & k \in (0, 1) \\ (\pi/2)(2-k^2) \arcsin(1/k) + (\pi/2)\sqrt{k^2-1}, & k \in (1, \infty) \end{cases} \quad (2.3)$$

где  $f$  – коэффициент трения.

Покажем, следуя [4, 5], как получены формулы (2.2), (2.3). Пусть  $P$  – мгновенный центр скоростей диска (фиг. 1), тогда

$$PC = v/\omega = Rv/u = Rk, \quad PA = \rho, \quad v = \dot{x}_C, \quad \omega = \dot{\phi}$$

Интегрирование элементарных сил трения и их моментов относительно точки  $P$ , с использованием формулы (1.1), в полярной системе координат с полюсом  $P$ , дает:

$$F_{\text{fr}}(k) = \lambda \int_0^{\pi} \cos \theta d\theta \int_{q_1}^{q_2} S dq, \quad k \in (0, 1)$$

$$F_{\text{fr}}(k) = 2\lambda \int_0^{\theta^*} \cos \theta d\theta \int_{q_1}^{q_2} S dq, \quad k \in (1, \infty)$$

$$M_{\text{fr}}(k) = -kRF_{\text{fr}}(k) + \lambda R \int_0^{\pi} d\theta \int_{q_1}^{q_2} q S dq, \quad k \in (0, 1)$$

$$M_{\text{fr}}(k) = -kRF_{\text{fr}}(k) + 2\lambda R \int_0^{\theta^*} d\theta \int_{q_1}^{q_2} q S dq, \quad k \in (1, \infty)$$

$$q = \rho/R$$

$$S = S(q, \theta, k) = q / \sqrt{1 - (q - k \cos \theta)^2 - k^2 \sin^2 \theta}$$

$$q_1 = k \cos \theta - \sqrt{1 - k^2 \sin^2 \theta}$$

$$q_2 = k \cos \theta + \sqrt{1 - k^2 \sin^2 \theta}$$

$$\lambda = f p_0 R^2 = fG/(2\pi)$$

$$\theta^* = \arcsin(1/k), \quad k \geq 1$$

Приведенные интегралы, как это было показано в работе [5], вычисляются в элементарных функциях. В результате получаются выражения (2.2), (2.3). После подстановки (2.2) и (2.3) в (2.1), приходим к уравнениям:

$$\dot{v} = -ak, \quad \dot{u} = -a(2 - k^2), \quad k \in (0, 1) \quad (2.4)$$

$$\begin{aligned} \dot{v} &= -\frac{2a}{\pi} \left( k\theta^* + \frac{\sqrt{k^2 - 1}}{k} \right) \\ \dot{u} &= -\frac{2a}{\pi} [(2 - k^2)\theta^* + \sqrt{k^2 - 1}], \quad k \in (1, \infty) \end{aligned} \quad (2.5)$$

где  $v = \dot{x}_C$ ,  $u = \omega R$ ,  $\omega = \dot{\phi}$ ,  $x_C$  – координата центра масс диска,  $\phi$  – угол его поворота,  $a = fgt/4$ ,  $\theta^* = \arcsin(1/k)$ ,  $g$  – ускорение силы тяжести.

**3. Формулировка результатов.** При исследовании и интегрировании уравнений (2.4) и (2.5) получены следующие результаты.

3.1. Пусть  $k_0 = k(0) = v(0)/(R\omega(0)) < 1$ , тогда решение системы (2.4) дается соотношениями

$$\frac{4a}{c}t = \ln \frac{2\sqrt{\xi_0} + \sqrt{1 + 4\xi_0}}{2\sqrt{\xi} + \sqrt{1 + 4\xi}} + 2(\sqrt{\xi_0} - \sqrt{\xi}) \quad (3.1)$$

$$\begin{aligned} x_C(\xi) &= \frac{c^2\sqrt{2}}{12a} [(1 + \sqrt{1 + 4\xi_0})^{3/2} - (1 + \sqrt{1 + 4\xi})^{3/2}] \\ c &= \frac{Rk_0^2\omega(0)}{\sqrt{1 - k_0^2}}, \quad \xi_0 = \frac{1 - k_0^2}{k_0^4}, \quad \xi = \frac{\omega^2 R^2}{c^2}, \quad a = fgt/4 \end{aligned} \quad (3.2)$$

При этом функция  $k(t) = v(t)/(R\omega(t))$  монотонно возрастает от значения  $k(0) = k_0$  вплоть до значения  $k(t_1) = 1$  в момент остановки  $t = t_1$ , для которого из (3.1) при  $\xi(t_1) = 0$  имеет место формула

$$t_1 = \frac{R\omega_0}{2a} \left( 1 + \frac{k_0^2}{\sqrt{1 - k_0^2}} \ln \frac{1 + \sqrt{1 - k_0^2}}{k_0} \right) \quad (3.3)$$

Из уравнения (3.2) при  $\xi(t_1) = 0$  получим выражение для пройденного центром диска пути

$$L = \frac{k_0 R^2 \omega_0^2 (1 + k_0 + k_0^2)}{3a(1 + k_0)} \quad (3.4)$$

Отметим два предельных случая.

1°. Если  $k_0 \rightarrow 0$  (т.е.  $v(0) \rightarrow 0$  и нет движения центра масс диска), то из (3.3) следует, что  $t_1 \rightarrow R\omega_0/(2a)$ . Эта формула может быть получена и непосредственно из второго уравнения системы (2.4) при  $k = 0$ . Из формулы (3.4) при  $k_0 \rightarrow 0$  получим  $L \rightarrow 0$  (что вполне понятно при  $v = 0$ ).

2°. Если  $k_0 \rightarrow 1$ , то  $\xi_0 \rightarrow 0$ . Из (3.3) получим, что  $t_1 \rightarrow R\omega_0/a$ , а из (3.4) получим, что  $L \rightarrow L_1 = R^2 \omega_0^2 / (2a)$ .

3.2. Пусть  $k_0 = k(0) = v(0)/(R\omega(0)) > 1$ , тогда решение уравнений (2.5) дается соотношениями:

$$\frac{2a}{\pi c}t = \frac{1}{\gamma_0 - \sin\gamma_0} - \frac{1}{\gamma - \sin\gamma} \quad (3.5)$$

$$x_C(\gamma) = \frac{\pi c^2}{a} \int_{\gamma_0}^{\gamma} \frac{\cos(\alpha/2)(1 - \cos\alpha)}{(\alpha - \sin\alpha)^3} d\alpha, \quad \gamma \in (\gamma_0, \pi) \quad (3.6)$$

$$c = \frac{R\omega(0)(\gamma_0 - \sin\gamma_0)}{\sin\gamma_0}, \quad \gamma_0 = 2\arcsin(1/k_0), \quad \gamma = 2\arcsin(1/k), \quad a = fg\pi/4$$

При этом функция  $k(t) = v(t)/(R\omega(t))$  монотонно убывает от значения  $k(0) = k_0$  вплоть до значения  $k(t_1) = 1$  в момент остановки  $t = t_1$ , для которого из (3.5) при  $\gamma(t_1) = \pi$  имеет место формула:

$$t_1 = \frac{k_0^2 R \omega_0}{2a\sqrt{k_0^2 - 1}} \left[ \pi/2 - \arcsin(1/k_0) + \frac{\sqrt{k_0^2 - 1}}{k_0^2} \right] \quad (3.7)$$

Из уравнения (3.6) при  $\gamma(t_1) = \pi$  получим формулу для пройденного центром диска пути

$$L = \frac{\pi c^2}{a} \int_{\gamma_0}^{\pi} \frac{\cos(\alpha/2)(1 - \cos\alpha)}{(\alpha - \sin\alpha)^3} d\alpha \quad (3.8)$$

Отметим два предельных случая.

1°. Если  $k_0 \rightarrow \infty$  при фиксированной начальной скорости  $v(0) = v_0$  (т.е.  $\omega(0) \rightarrow 0$  и нет вращения), то из (3.7) получим

$$t_1 \rightarrow \lim_{k_0 \rightarrow \infty} \frac{v_0 k_0}{2a\sqrt{k_0^2 - 1}} \left[ \pi/2 - \arcsin(1/k_0) + \frac{\sqrt{k_0^2 - 1}}{k_0^2} \right] = \frac{v_0}{fg}$$

Эта формула может быть получена и непосредственно из первого уравнения системы (2.5) при  $k \rightarrow \infty$ , т.к. это уравнение при  $k \rightarrow \infty$  принимает вид  $\dot{v} = -fg$ . Далее, при  $k_0 \rightarrow \infty$  имеем  $\gamma_0 \rightarrow 0$ . Запишем (3.8) в виде

$$L = \frac{\pi v_0^2 (\gamma_0 - \sin\gamma_0)^2}{4a \cos^2(\gamma_0/2)} \int_{\gamma_0}^{\pi} \frac{\cos(\alpha/2)(1 - \cos\alpha)}{(\alpha - \sin\alpha)^3} d\alpha \quad (3.9)$$

Вычисляя в этом выражении предел при  $\gamma_0 \rightarrow 0$  (например, по правилу Лопитала), получим  $L \rightarrow L_2 = v_0^2/(2fg)$ . Это выражение может быть также получено из уравнения  $\dot{v} = -fg$ .

2°. Если  $k_0 \rightarrow 1$ , то  $\gamma_0 = 2\arcsin(1/k_0) \rightarrow \pi$ . Вычисляя в (3.7) предел при  $k_0 \rightarrow 1$ , получим  $t_1 \rightarrow R\omega_0/a$ , а из (3.9), вычисляя предел при  $\gamma_0 \rightarrow \pi$  по правилу Лопитала, будем иметь

$$L \rightarrow L_1 = v_0^2/(2a) = R^2 \omega_0^2/(2a)$$

что согласуется с результатом, полученным в п. 3.1 при  $k_0 \rightarrow 1$ .

**4. Обоснование результатов.** 4.1. Пусть  $k_0 \in (0, 1)$ . Тогда интегрирование системы (2.4) сводится к интегрированию однородного уравнения

$$\frac{dv}{du} = u \frac{dk}{du} + k = \frac{k}{2 - k^2}$$

Отсюда

$$\frac{uk^2}{\sqrt{1 - k^2}} = c = \text{const}, \quad c = \frac{k_0^2 R \omega_0}{\sqrt{1 - k_0^2}} \quad (4.1)$$

Из (4.1) получим

$$k^2 = \frac{2}{1 + \sqrt{1 + 4\xi}}, \quad \xi = \frac{u^2}{c^2} \quad (4.2)$$

Из уравнений (2.4) и (4.2) следует, что при  $k_0 < 1$  функция  $u(t)$  монотонно убывает, а  $k(t)$  монотонно возрастает от значения  $k_0$  до значения  $k(t_1) = 1$  при  $u(t_1) = 0$ , т.е. в момент остановки. Используя (4.2), второе уравнение системы (2.4) запишем в виде

$$\left[ \frac{1}{\sqrt{\xi(1 + 4\xi)}} + \frac{1}{\sqrt{\xi}} \right] d\xi = -\frac{4a}{c} dt \quad (4.3)$$

Интеграл уравнения (4.3) имеет вид (3.1). Далее, из (4.1) и (4.2) получим

$$v = ku = c \frac{\sqrt{1 - k^2}}{k} = c \sqrt{\frac{1}{k^2} - 1} = c \sqrt{\frac{2\xi}{1 + \sqrt{1 + 4\xi}}} = \frac{dx_C}{dt}$$

Отсюда с использованием уравнения (4.3) имеем

$$dx_C = v dt = -\frac{c\sqrt{2}}{4a} \sqrt{\frac{1 + \sqrt{1 + 4\xi}}{1 + 4\xi}} d\xi$$

Интегрируя последнее выражение, приходим к формуле (3.2).

4.2. Пусть  $k_0 \in (1, \infty)$ . Тогда интегрирование системы (2.5) сводится к интегрированию однородного уравнения

$$\frac{dv}{du} = u \frac{dk}{du} + k = \frac{k \arcsin(1/k) + \sqrt{k^2 - 1/k}}{(2 - k^2) \arcsin(1/k) + \sqrt{k^2 - 1}}$$

Вводя новую переменную  $\beta = \arcsin(1/k)$ ,  $\beta \in (0, \pi/2)$ , получим уравнение с разделяющимися переменными

$$u \frac{d\beta}{du} = \frac{2\beta \cos \beta \sin \beta - 2 \cos^2 \beta \sin^2 \beta}{2\beta \cos(2\beta) - \sin(2\beta)}$$

а, вводя переменную  $\gamma = 2\beta$ , получим уравнение

$$\frac{du}{u} = \frac{(\gamma \cos \gamma - \sin \gamma) d\gamma}{(\gamma - \sin \gamma) \sin \gamma}, \quad \gamma \in (0, \pi)$$

интеграл которого имеет вид:

$$u = \frac{c \sin \gamma}{\gamma - \sin \gamma}, \quad c = \frac{u_0 (\gamma_0 - \sin \gamma_0)}{\sin \gamma_0} = \text{const} \quad (4.4)$$

Второе уравнение системы (2.5) в новых обозначениях запишется следующим образом:

$$\dot{u} = -\frac{2a \sin \gamma - \gamma \cos \gamma}{\pi (1 - \cos \gamma)}$$

Используя интеграл (4.4), отсюда получим уравнение с разделяющимися переменными:

$$\frac{(1 - \cos \gamma)}{(\gamma - \sin \gamma)^2} d\gamma = \frac{2a}{c} dt \quad (4.5)$$

Из уравнения (4.5) следует, что функция  $\gamma(t) = 2 \arcsin(1/k(t))$  монотонно возрастает с течением времени от значения  $\gamma(0) = \gamma_0$  вплоть до значения  $\gamma(t_1) = \pi$  при  $u(t_1) = 0$  в момент остановки (см. (4.4)). Следовательно, функция  $k(t) = 1/\sin(\gamma/2)$  монотонно убывает от значения  $k(0) = k_0$  вплоть до значения  $k(t_1) = 1$  в момент остановки. Интегрируя уравнение (4.5), придем к соотношению (3.5). Формула (3.6) получается аналогично тому, как это было сделано в п. 4.1.

**5. Обсуждение результатов.** Из выведенных п. 3. формул для времени движения и пройденного центром масс диска пути вплоть до остановки можно найти экстремальные значения этих величин при фиксированной начальной кинетической энергии диска. Пусть  $T_0$  – начальное значение кинетической энергии. Тогда

$$T_0 = \frac{\dot{m}v_0^2}{2} + \frac{1}{2} \cdot \frac{mR^2}{2} \omega_0^2, \quad u_0 = \omega_0 R = 2 \sqrt{\frac{T_0}{m}} \frac{1}{\sqrt{1 + 2k_0^2}}$$

Подставляя найденное выражение для  $u_0$  в формулы (3.3), (3.4) и (3.7), (3.8), получим:

$$t_1(k_0) = \frac{\sqrt{T_0}}{a\sqrt{m}} \begin{cases} \frac{1}{\sqrt{1 + 2k_0^2}} \left( 1 + \frac{k_0^2}{\sqrt{1 - k_0^2}} \ln \frac{1 + \sqrt{1 - k_0^2}}{k_0} \right), & k_0 \in (0, 1) \\ \frac{1}{\sqrt{(1 + 2k_0^2)(k_0^2 - 1)}} \left( \frac{\pi}{2} - \arcsin \frac{1}{k_0} + \frac{\sqrt{k_0^2 - 1}}{k_0} \right), & k_0 \in (1, \infty) \end{cases} \quad (5.1)$$

$$L(k_0) = \frac{T_0}{am} \begin{cases} \frac{4k_0(1 + k_0 + k_0^2)}{3(1 + k_0)(1 + 2k_0^2)}, & k_0 \in (0, 1) \\ \frac{4\pi}{1 + 2k_0^2} \left( \frac{k_0^2 \arcsin(1/k_0)}{\sqrt{k_0^2 - 1}} - 1 \right)^2 I(k_0), & k_0 \in (1, \infty) \end{cases} \quad (5.2)$$

$$I(k_0) = \int_{\gamma_0}^{\pi} \frac{\cos(\alpha/2)(1 - \cos \alpha)}{(\alpha - \sin \alpha)^3} d\alpha, \quad \gamma_0 = 2 \arcsin(1/k_0), \quad a = fg\pi/4$$

Анализ формул (5.1), (5.2), связанный только с вычислением первой производной по  $k_0$  от функций из (5.1), (5.2), приводит к следующим результатам:

$$\min_{k_0} (t_1(k_0)) = t_1(0) = \frac{1}{a\sqrt{m}} \sqrt{\frac{T_0}{m}}$$

$$\max_{k_0} (t_1(k_0)) = t_1(1) = \frac{2}{\sqrt{3}a} \sqrt{\frac{T_0}{m}} \approx 1.115 t_1(0)$$

$$\max_{k_0} (L(k_0)) = \lim_{k_0 \rightarrow \infty} L(k_0) = T_0/(fg)$$

Ясно, что  $\min_{k_0} L(k_0) = 0$  и реализуется этот минимум при  $k_0 = 0$ , т.е. когда  $v_0 = 0$  и нет движения центра масс. Таким образом, минимальное время движения диска при фиксированной начальной кинетической энергии реализуется при  $k_0 = 0$ , т.е. на чисто вращательном движении, а максимальное – на решении  $k(t) = k_0 = 1$ , представляющем собой качение диска без проскальзывания по прямой, параллельной оси  $x$ . Максимальное расстояние, проходимое диском вплоть до остановки, при тех же предположениях, реализуется на чисто поступательном движении. Этот факт полностью согласуется с аналогичным результатом из [6], доказанным для диска произвольной формы, т.е. не обязательного круглого.

#### СПИСОК ЛИТЕРАТУРЫ

1. Контенсу П. Связь между трением скольжения и трением вёрчения и ее учет в теории волчка // Проблемы гирроскопии. М.: Мир, 1967. С. 60–77.
2. Ишилинский А.Ю., Соколов Б.Н., Черноусько Ф.Л. О движении плоских тел при наличии сухого трения // Изв. АН СССР. МТТ. 1981. № 4. С. 17–28.
3. Журавлев В.Ф. О модели сухого трения в задаче качения твердых тел // ПММ. Т. 62. Вып. 5. 1998. С. 762–767.
4. Журавлев В.Ф. Закономерности трения при комбинации скольжения и вёрчения // Изв. РАН. МТТ. № 4. 2003. С. 81–88.
5. Киреенков А.А. О движении однородного вращающегося диска по плоскости в условиях комбинированного трения // Изв. РАН. МТТ. № 1. 2002. С. 60–67.
6. Розенблат Г.М. Динамические системы с трением. Москва; Ижевск: НИЦ “Регулярная и хаотическая динамика”, 2005. 155 с.
7. Галин Л.А. Контактные задачи теории упругости и вязкоупругости. М.: Наука, 1980. 303 с.

Москва

Поступила в редакцию

15.03.2006